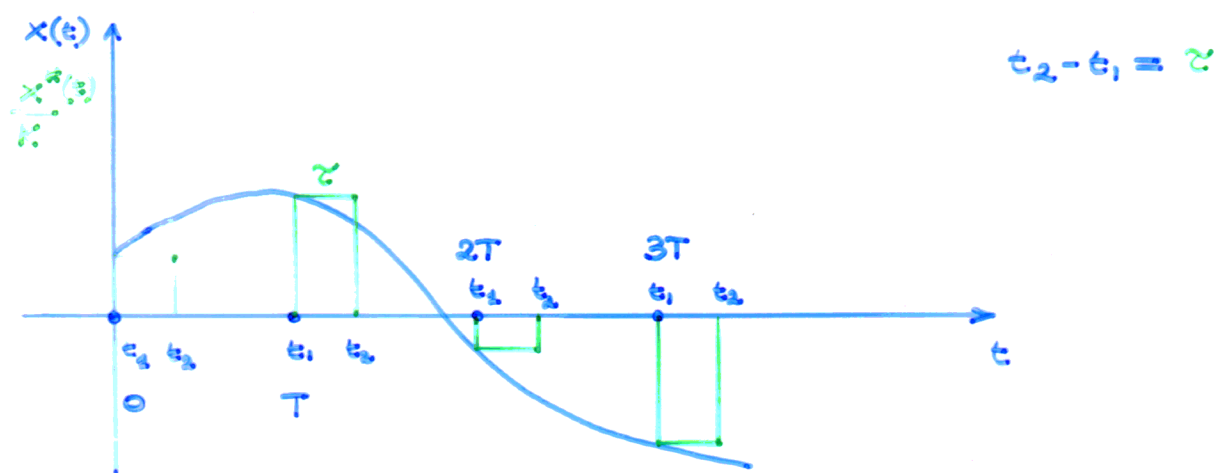
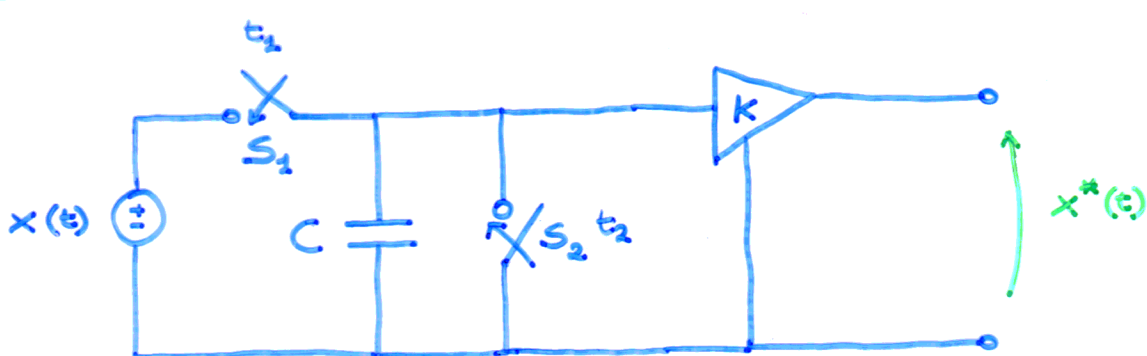


SPESSO DI UN SEGNALE CAMPIONATO

- Schema di PRINCIPIO di un CAMPIONATORE



t_1 : S_1 si chiude (per un "istante") \Rightarrow C si carica a $x(nT)$ ($t = nT$)

t_2 : S_2 si chiude (per un "istante") \Rightarrow C si scarica.
($t = nT + \tau$)

\Rightarrow Il generico impulso $x_n(t)$ della sequenza si potrà scrivere come

$$x_n(t) = K x(nT) [u(t-nT) - u(t-nT-\tau)]$$

- Hp (non restrittiva) $x(t) = 0 \quad t < 0 \Rightarrow$

$$x^*(t) = \sum_{n=0}^{\infty} x_n(t) =$$

$$= K \sum_{n=0}^{\infty} x(nT) [u(t-nT) - u(t-nT-\tau)] \quad (2)$$

- Consideriamo la trasf. di Laplace di entro i membri della (2)

$$\begin{aligned} X^*(s) &= K \sum_{n=0}^{\infty} x(nT) \left[e^{-snT} /s - e^{-s(nT+\tau)} /s \right] \\ &= K \frac{1-e^{-s\tau}}{s} \sum_{n=0}^{\infty} x(nT) e^{-snT} \end{aligned}$$

Ma per generare un segnale compionato si assume $\tau \approx \text{PICCOLO}$
 \Rightarrow (lo quasi degli "impulsi")

$$\frac{1-e^{-s\tau}}{s} \approx \frac{1-(1-s\tau)}{s} = \tau$$

$\Rightarrow H_p$ (di comodo) $K = 1/\tau$ (in questo modo l'area corrispondente a ciascun impulso è $x(nT)$)

$$X^*(s) = \sum_{n=0}^{\infty} x(nT) e^{-snT}$$

MA data una sequenza $\{x(nT)\}$ debiamo definire

$$X(z) = \sum_{n=0}^{\infty} [x(nT) z^{-n}] = \sum_{n=0}^{\infty} x(nT) z^{-n}$$

Dunque le due espressioni coincidono fatto che

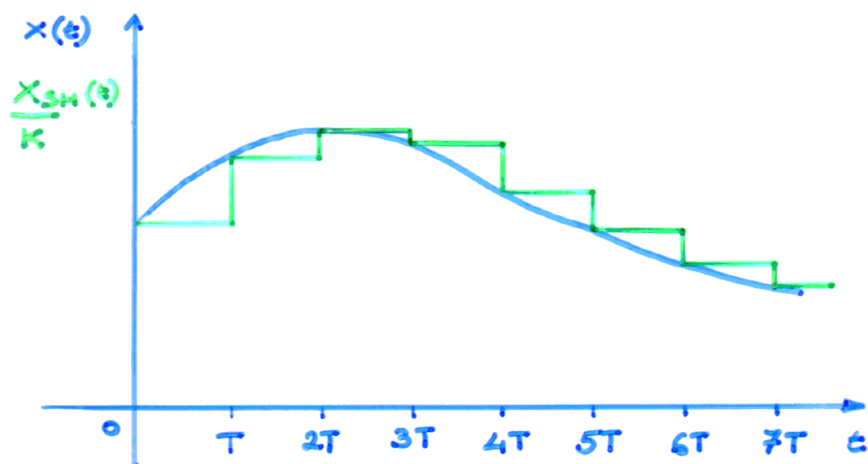
$$Z = e^{sT}$$

Percio'

La trasformata di Laplace e la Z-trasf. di un segnale campionato coincidono a patto di assumere $Z = e^{sT}$ (è un modo alternativo per introdurre la Z-trasf.)

OSS.

Eliminando S_2 si ottiene lo schema di principio di un SAMPLE AND HOLD (l'uscita rimane costante per $nt \leq t < (n+1)T$)



Le espressioni di $x_{sh}(t)$ e di $X_{sh}(s)$ sono identiche a parte la posizione $\tau = T \Rightarrow (H_p : K=1)$

$$x_{sh}(t) = \sum_{n=0}^{\infty} x(nt) [u(t-nT) - u(t-nT-T)]$$

$$X_{sh}(s) = \frac{1-e^{-sT}}{s} \sum_{n=0}^{\infty} x(nt) e^{-snT}$$

- La Z-trasf. di un segnale CAMPIONATO e di un segnale CAMPIONATO e TENUTO differiscono per il fattore $\frac{1-e^{-sT}}{s} \stackrel{s \rightarrow 0}{=} H_{sh}(s)$

Quindi $X_{SH}(s)$ può essere scritta come UNA FUNZIONE RAZIONALE in
 $(z = e^{sT})$
 (o una serie di potenze in z), MOLTIPLICATA per $H_{SH}(s)$.

- Se ad un sistema, al cui interno vengono effettuate unicamente
 operazioni di SOMMA, MOLTIPLICAZIONE PER UNA COSTANTE e
 RITARDO di T del segnale, viene applicato un segnale $X_{SH}(s)$
 \Rightarrow TUTTI I SEGNALI all'interno della rete (compresa quella
 di uscita) SONO di tipo S/H e la FUNZIONE DI TRASFERI-
 MENTO

$$H = \frac{Y_{SH}}{X_{SH}} \text{ non contiene il fattore } H_{SH}(s)$$

SPESSO DI UN SEGNALE CAMPIONATO.

Data una sequenza $\{x(nT)\}$ e noto la sua Z -trasf.
 $X(z)$, per ottenere il suo spettro $X^*(j\omega)$, BASTA CONSIDERARE
 LE RELAZIONI CHE LEGANO Z -trasf. $\rightarrow L$ -trasf. $\rightarrow F$ -trasf.

$$Z = e^{\frac{sT}{2}} \rightarrow s = j\omega \rightarrow Z = e^{\frac{j\omega T}{2}} \rightarrow \text{per ottenere lo spettro si considera le } Z\text{-trasf. e si effettua la sostituzione } z = e^{\frac{j\omega T}{2}}$$

$$X^*(j\omega) = \underline{\underline{\sum_{n=0}^{\infty} x(nT) e^{-j\omega nT}}}.$$

OSS.

- 1) Al posto di $X^*(j\omega)$ a volte si utilizza la notazione $X^*(e^{j\omega T})$, dato che ω compare sempre in un esponentiale.

2) $X^*(e^{j\omega T})$ è PERIODICA (RISPETTO a ω !) di PERIODO $\frac{2\pi}{T}$

Infatti:

$$\omega \leftarrow \omega + \frac{2\pi}{T} \Rightarrow e^{-j\omega nT} \leftarrow e^{-j(\omega + \frac{2\pi}{T})nT} = \\ = e^{-j\omega nT} \cdot e^{-j2\pi n} \\ \stackrel{n=1}{=} 1$$

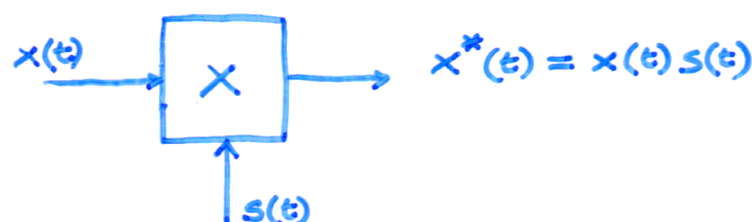
3) E' possibile provare che

$$X^*(e^{j\omega T}) = \frac{1}{T} \sum_{k=-\infty}^{\infty} X(j\omega - jk\frac{2\pi}{T})$$

essendo $X(j\omega) = \mathcal{F}\{x(t)\}$. Perciò lo spettro di un segnale campionato è dato DALLA RIPETIZIONE PERIODICA dello spettro del corrispondente segnale tempocontinuo, di periodo $\omega_s = 2\pi/T$

DIM.

Conviene esprimere $x^*(t)$ come usata di un modulatore a prodotto, con segnale modulante $x(t)$ e portante costituita da un traino di impulsi, cioè



dove

$$s(t) = \sum_{n=-\infty}^{\infty} \delta(t-nT)$$

$s(t)$ è un segnale periodico di periodo $T \Rightarrow$ lo esprimiamo mediante
una serie di \mathcal{Y}

$$s(t) = \sum_{k=-\infty}^{\infty} c_k e^{jk\frac{2\pi}{T}t}$$

dove

$$\begin{aligned} c_k &= \frac{1}{T} \int_{-T/2}^{T/2} s(t) e^{-jk\frac{2\pi}{T}t} dt = \frac{1}{T} \sum_{m=-\infty}^{\infty} \int_{-T/2}^{T/2} \delta(t-mT) e^{-jk\frac{2\pi}{T}t} dt \\ &= \frac{1}{T} \int_{-T/2}^{T/2} \delta(t) e^{-jk\frac{2\pi}{T}kt} dt = \frac{1}{T} \\ \uparrow \quad & \delta(t-mT) = 0 \text{ in } [-T/2, T/2] \text{ per } m \neq 0 \end{aligned}$$

quindi

$$x^*(t) = \frac{1}{T} \sum_{k=-\infty}^{\infty} c_k x(t) e^{jk\frac{2\pi}{T}kt}$$

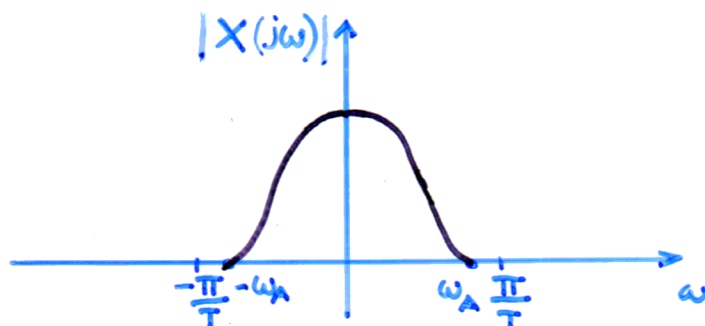
Considero la \mathcal{Y} -trasformata (prop. di linearità e del "fattore di
scala")

$$x^*(e^{j\omega T}) = \frac{1}{T} \sum_{k=-\infty}^{\infty} X(j\omega - jk\frac{2\pi}{T})$$

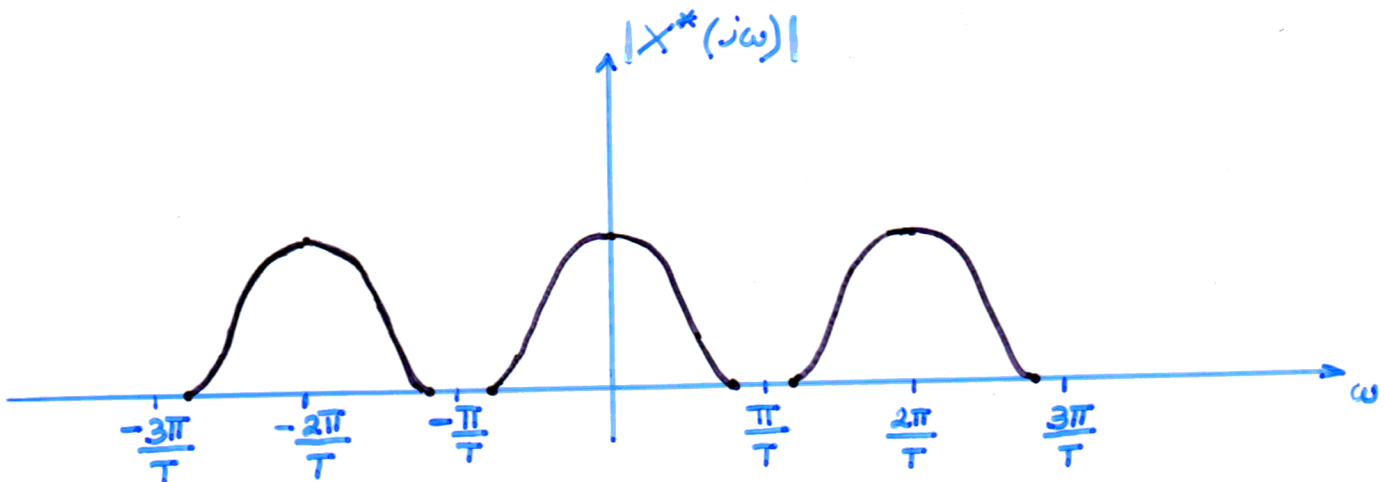
NOTA:

La relazione che lega $x^*(e^{j\omega T})$ a $X(j\omega)$ consente di
PROVARE il Teorema di Shannon (del campionamento)

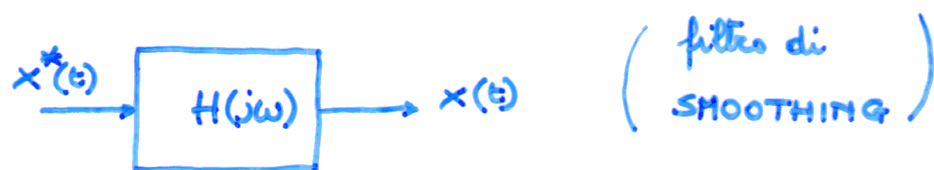
- Infatti se $x(t)$ ha uno spettro di ampiezza $\omega_A < \frac{\omega_s}{2} = \frac{\pi}{T}$



allora lo spettro del segnale $X^*(\omega)$, da esso ottenuto mediante una operazione di campionamento con PERIODO T , è



Quindi i vari "lobi" che formano la ripetizione periodica
NON SI SOVRAPPONGONO \Rightarrow è POSSIBILE da $x^*(t)$ RECUPERARE
IL SEGNALE TEMPO CONTINUO DI PARTENZA $x(t)$ uscendo

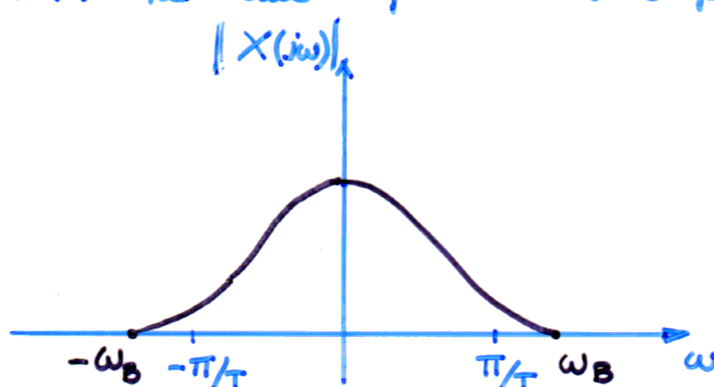


con

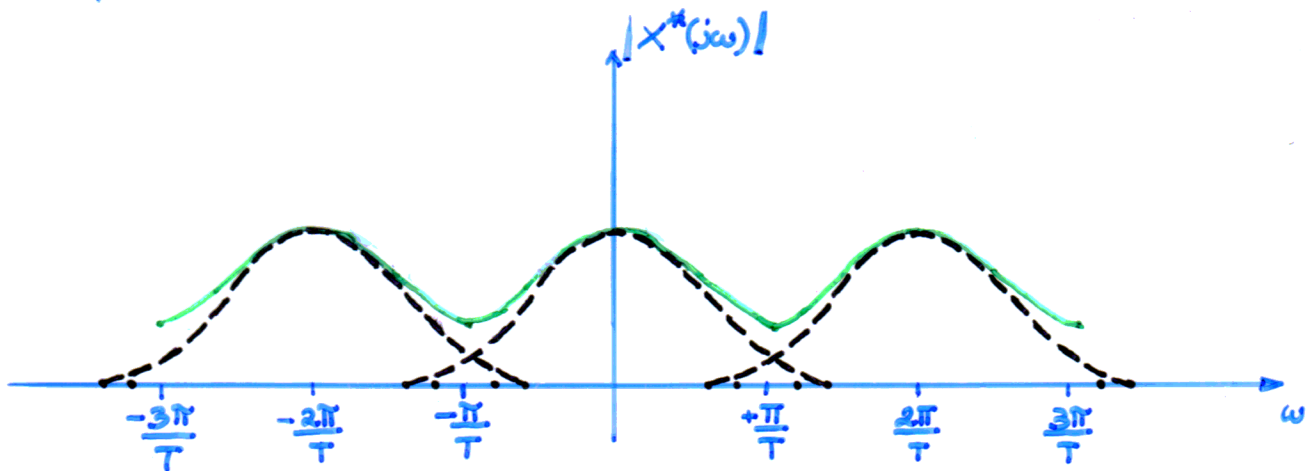
$$H(j\omega) = \begin{cases} 1 & |\omega| \leq \pi/T \\ 0 & |\omega| > \pi/T \end{cases}$$

(si filtra il solo "lobo centrale" in $|X^*(j\omega)|$)

- Se, invece, $x(t)$ ha uno spettro di ampiezza $|X(\omega)|$ con $\underline{\omega_B > \frac{\omega_s}{2} = \frac{\pi}{T}}$



lo spettro di $x^*(t)$ diventa



in questo caso le "code" OLTRE ω_B di $X(j\omega)$ si SOVRAPPONGONO nel formore $X^*(j\omega)$ \Rightarrow l'andamento di $X^*(j\omega)$ alla pulsazione ω dipende dall'andamento di $X(j\omega)$ a DIVERSE PULSAZIONI: si parla di ALIASING o FOLDING (distorsione non lineare.) In questo caso NON è possibile recuperare $x(t)$ da $x^*(t)$ mediante il filtro di smoothing.

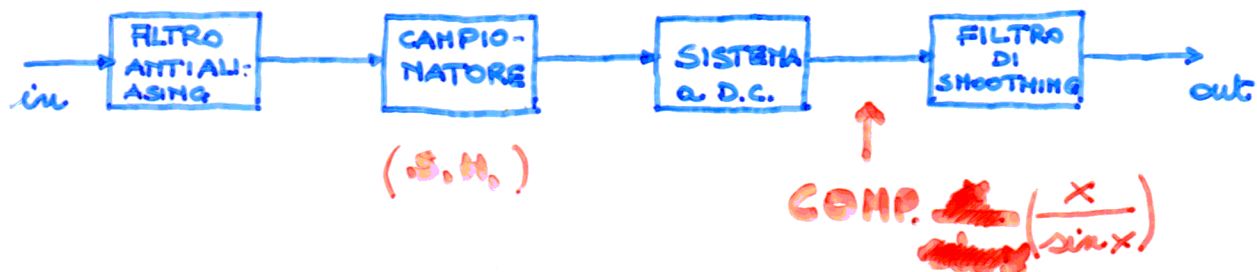
QUINDI:

Se $f_s = \frac{1}{T} \geq 2f_A = 2 \cdot \left(\frac{\omega_A}{2\pi} \right)$ è possibile recuperare da un segnale campionato il corrispondenti segnale tempo-contino, cioè L'OPERAZIONE DI CAMPIONAMENTO NON ALTERA IL CONTENUTO INFORMATIVO DEL SEGNALE (Teor. di Shannon)

OSS.

Nella pratica si garantisce che il teor. di Shannon sia rispettato fissando una f_s opportunamente alta, ma anche RIDUCENDO L'AMPIEZZA DI BANDA DEL SEGNALE ELABORATO f_A , mediante un FILTRO ANTI ALIASING (tipico impiego per un filtro "continuo")

- Lo schema di un sistema di elaborazione (per es. un filtro) "a valori compionti" con ingresso e uscite temporanee sarà quindi dato da



PROGETTO DI UN FILTRO DIGITALE DAL CORRISPONDENTE PROTOTIPO ANALOGICO

PROTOTIPO ANALOGICO

Supponiamo di aver determinato (mediante le procedure di approssimazione miste) la funzione di trasferimento del filtro analogico che soddisfa le specifiche imposte cioè

H_P) $H_a(s)$ è noto $\Rightarrow H_D(z)$ corrispondenti?

Soluzione

occorre determinare una trasformazione opportuna.

$$s = f(z)$$

in modo che

$$H_D(z) = H_a(s) \Big|_{s=f(z)} = H_a(f(z))$$

Problema:

- come è fatta $f(z)$?
- a quali proprietà deve soddisfare? Come è possibile determinarla?

Proprietà di $f(z)$.

- 1) $H_a(s)$ ed $H_D(z)$ sono funzioni RAZIONALI in s e z rispettivamente
 $\Rightarrow f(z)$ DEVE ESSERE RAZIONALE in z
- 2) $H_a(j\omega)$ è stato progettato in modo da possedere alcune desiderabili caratteristiche (selezione). Si vuole che tali caratteristiche SIANO PRESENTI anche nella RISPOSTA in frequenza del CORRISPONDENTE filtro digitale $H_D(e^{j\Omega T})$
 $\Rightarrow s = f(z)$ deve trasformare l'asse Imm. $s = j\omega$ nella circonferenza unitaria $z = e^{j\Omega T}$ (\Rightarrow si fa corrispondere tra le 2 risposte in frequenza)
- 3) $H_a(s)$ deve corrispondere ad un sistema STABILE \Leftrightarrow

$$\operatorname{Re}(s_i) < 0 \quad s_i = \text{poli di } H_a(s).$$

Si vuole che ANCHE $H_D(z)$ sia STABILE \Rightarrow I poli z_i di $H(z)$ determinabili come

$$s_i = f(z_i)$$

DEVONO ESSERE ALL'INTERNO DELLA CIRCONFERENZA UNITARIA

Riassumendo.

$s = f(z)$ deve trasformare il SEMIPIANO SINISTRO nel piano s nella regione posto all'interno della circonferenza unitaria.

Inoltre

- 1) $f(z)$ deve essere una funzione razionale di z
- 2) per $|z| = 1$, $f(z)$ deve essere PURAMENTE IMMAGINARIO;

risposta, se $s = f(z)$ è IMMAGINARIO, si deve avere $|z| = 1$

- 3) Per $|z| < 1$ la parte reale di $s_0 = f(z)$ deve essere NEGATIVA; risposta se $\operatorname{Re} s < 0$, il corrispondente valore di z deve essere t.c. $|z| < 1$

Determinazione di $f(z)$.

- Metodo sistematis basato su TECHNICHE DI INTEGRAZIONE NUMERICA.
- Un filtro (in generale un sistema dinamico) di funzione di trasf. $H_a(s)$ può essere equivalentemente descritto NEL DOMINIO dei tempi da un SISTEMA di N (= ordine del filtro) equazioni differenziali LINEARI del 1° ordine detti EQ. DI STATO

$$(o) \quad \frac{dx_i(t)}{dt} = g_{i\cdot}(t) \quad i = 1, \dots, N$$

ove $x_i(t)$ = variabili di stato

$g_{i\cdot}(t)$ = funzioni LINEARI delle $x_i(t)$ (e del segnale di ingresso)

\Rightarrow L-trasformo entro i membri di (o)

$$s X_i(s) = G_{i\cdot}(s) \quad i = 1, \dots, N$$

(ho assunto $x_i(0) = 0$)

- Derriviamo equazioni analoghe per un FILTRO DIGITALE (in generale per un sistema dinamico tempo-discreto e analogico)

Il sistema è descritto da una equazione alle DIFFERENZE FINITE \Rightarrow da (o)

$$\begin{aligned} \int_{nT-T}^{nT} \frac{dx_i(t)}{dt} dt &= x_i(nT) - x_i(nT-T) \\ (\text{xx}) \quad &= \int_{nT-T}^{nT} g_i(t) dt \quad i = 1, 2, \dots, N \end{aligned}$$

↑
negli orizzontali
"edutiche" a (o)
 \Rightarrow "stesse" equazioni
di stato

Quindi:

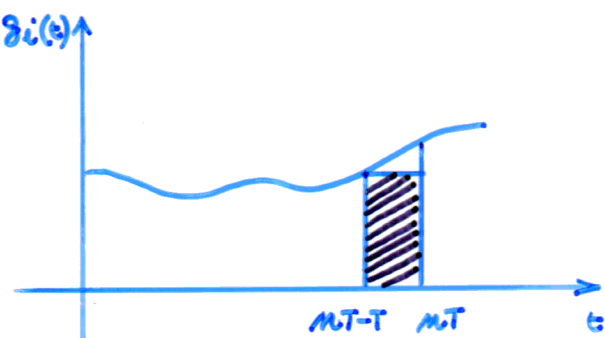
- al primo membro della (xx) ha l'equazione alle differenze che molte
- deve approssimare "approssimamente" il 2° membro \Rightarrow SI UTILIZZA UN ALGORITMO DI INTEGRAZIONE NUMERICA.

4 POSSIBILI SCELTE:

- 1) EULERO FORWARD \leftarrow
- 2) EULERO BACKWARD
- 3) TRASF. BILINEARE \leftarrow
- 4) TRASF. LDI (Lossless Discrete Integrator)

EULERO FORWARD.

$$\int_{nT-T}^{nT} g_i(t) dt \approx T g_i(nT-T)$$



Si approssima l'integrale mediante l'AREA DEL RETTANGOLO \equiv ,
si fa cioè la Hp che per

$$nT-T \leq t \leq nT \quad g_i(t) \approx g_i(nT-T) \text{ costante}$$

\Rightarrow la (**) diventa

$$x_i(nT) - x_i(nT-T) = T g_i(nT-T)$$

Applico la Z-trasf.

$$X_i(z) - z^{-1} X_i(z) = T z^{-1} G_i(z)$$

$$\frac{1-z^{-1}}{Tz^{-1}} X_i(z) = G_i(z) \quad \Rightarrow$$

$$\frac{z-1}{T} X_i(z) = G_i(z) \quad i = 1, \dots, N$$

che, comparato con la "corrispondente" espressione omologica $sX_i(s) = G_i(s)$ fornisce

$$s = f(z) = \underline{\frac{z-1}{T}}$$

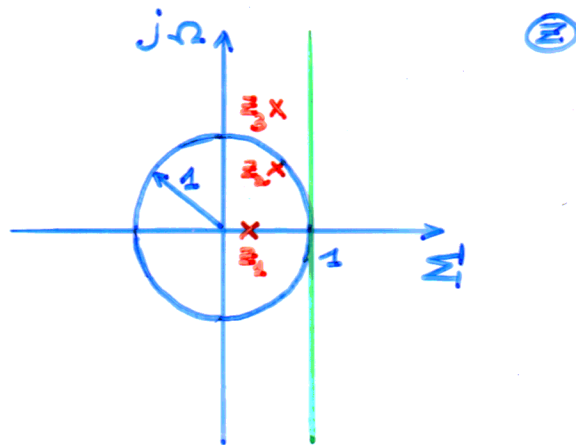
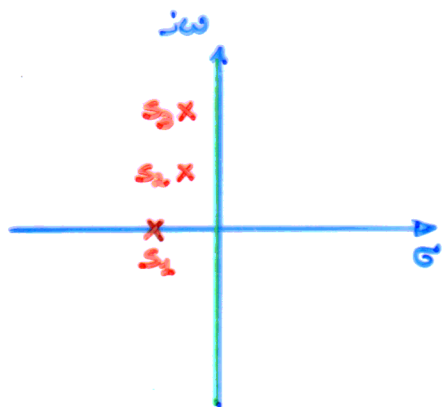
Ma la $f(z)$ verifica le proprietà 1) - 3) ?

1) $f(z)$ è un polinomio in $z \Rightarrow$ ok!

2) $s = \frac{z-1}{T} \Rightarrow z = sT + 1 \quad$ perciò per $s = j\omega$ è

$$z = 1 + j\omega T$$

$\Rightarrow |z| = 1 \Leftrightarrow \omega = 0 !!$ L'osso Im nel piano s non si trasforma in $|z| = 1$



L'asse Im del piano s si "mappa" sulla retta $|z| = 1$ nel piano z . Quindi la condizione 2) è VERIFICATO solo CON ROZZA APPROSSIMAZIONE quando

$$|\omega T| \ll 1 \quad \Rightarrow \quad |z| \approx 1$$

3) Non è detto che poli di $H_a(s)$ nel semipiano sinistro CORRISPONDANO a poli di $H_D(z)$ entro $|z|=1$ (E.g. $z_3 \leftrightarrow s_3$)
Quindi la stabilità di $H_D(z)$ NON è assicurata a priori dalla stabilità di $H_a(s)$

OSS.

Anche se tutti i poli di $H_a(s)$ vengono trasformati in poli di $H_D(z)$ situati all'interno di $|z|=1$, si hanno 2 effetti che DETERIORANO le risposte del filtro digitale rispetto al corrispondente filtro analogico:

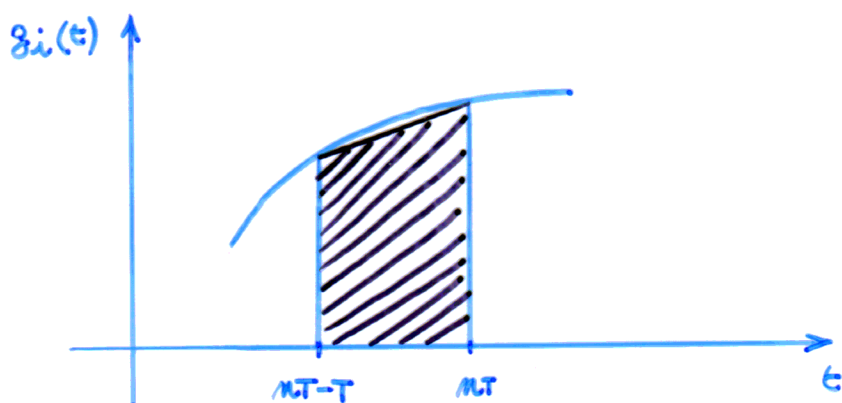
- 1) I poli DOMINANTI di $H_a(s)$ (quelli + vicini all'asse Im) vengono trasformati in poli MOLTO VICINI a $|z|=1$
 \Rightarrow si ha un effetto di "picco" nello curve di risposta

2) Gli Zeri (di trasmissione) di $H_2(s)$ si trovano sull'asse $j\omega$
 → quelli di $H_D(z)$ NON si troveranno sull' $|z|=1$ →
 $H_D(e^{j\omega T})$ NON sarà $= 0$ DOVE DOVREBBE ⇒
 la risposta IN BANDA OSCURA SARÀ DETERIORATA.

TRASFORMAZIONE BILINEARE.

$$\int_{nT-T}^{nT} g_i(t) dt \approx \frac{T}{2} [g_i(nT-T) + g_i(nT)]$$

che graficamente corrisponde a



Si approssima l'integrale mediante l'area , cioè l'area
 del trapezio con base minore $g_i(nT-T)$, base maggiore $g_i(nT)$
 ed altezza T

Ricavando (**)

$$x_i(nT) - x_i(nT-T) = T/2, [g_i(nT-T) + g_i(nT)]$$

⇒ usando la Z -trasf.

$$X_i(z) - z^{-1} X_i(z) = T/2 \left[G_i(z) z^{-1} + G_i(z) \right]$$

$$\frac{2}{T} \cdot \frac{1-z^{-1}}{1+z^{-1}} X_i(z) = G_i(z) \Rightarrow$$

$$\frac{2}{T} \cdot \frac{z-1}{z+1} X_i(z) = G_i(z) \quad i=1, \dots, N$$

Confrontando la precedente espressione con la $s X_i(s) = G_i(s) \Rightarrow$

$$\underline{s = f(z) = \frac{2}{T} \frac{z-1}{z+1}}$$

(che è proprio una funzione bilineare !)

$f(z)$ verifica le proprietà 1)-3) ?

1) è una funzione razionale in z (ok)

2) Da $s = f(z)$ ricaviamo z :

$$s(z+1) = 2/T(z-1) \Rightarrow \left(\frac{2}{T} - s \right) z = \frac{2}{T} + s$$

quindi

$$z = \frac{\frac{2}{T} + s}{\frac{2}{T} - s}$$

$$s = \sigma + j\omega \quad \text{e} \quad z = c e^{j\theta}$$

$$c = |z| = \left| \frac{\frac{2}{T} + \sigma + j\omega}{\frac{2}{T} - \sigma - j\omega} \right| = \left[\frac{\left(\frac{2}{T} + \sigma \right)^2 + \omega^2}{\left(\frac{2}{T} - \sigma \right)^2 + \omega^2} \right]^{1/2} \quad (\text{A})$$

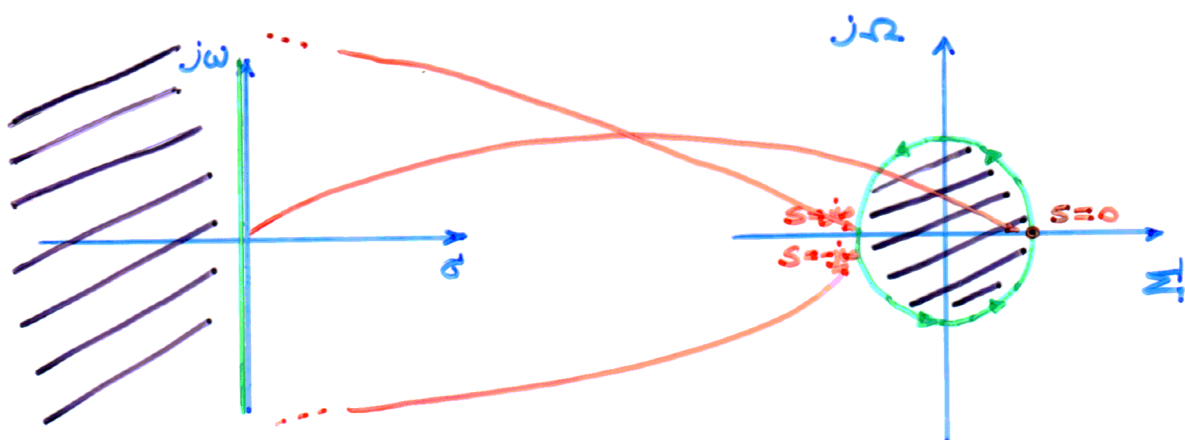
$$\theta = \arg z = \operatorname{tg}^{-1} \frac{\omega}{\frac{2}{T} + \sigma} - \operatorname{tg}^{-1} \frac{-\omega}{\frac{2}{T} - \sigma} = \operatorname{tg}^{-1} \frac{\omega}{\frac{2}{T} + \sigma} + \operatorname{tg}^{-1} \frac{\omega}{\frac{2}{T} - \sigma} \quad (\text{B})$$

Dalla (A)

i) $\sigma > 0 \Rightarrow \zeta > 1$ Il semipiano DESTRO di s è "MAPPATO" nella regione ESTERNA a $|z| = 1$

ii) $\sigma = 0 \Rightarrow \zeta = 1$ L'asse Im del piano s viene TRASFORMATO NELLA CIRCONFERENZA $|z| = 1$
 \Rightarrow la prop. 2) è SODDISFATTA

iii) $\sigma < 0 \Rightarrow \zeta < 1$ Il semipiano SINISTRO di s viene trasformato nella regione INTERNA a $|z| = 1 \Rightarrow$ la STABILITÀ di $H_2(z)$ deriva immediatamente da quella di $H_2(s)$
 \Rightarrow la prop. 3) è SODDISFATTA



Dalla (B) per $\sigma = 0$ ($\Rightarrow \zeta = 1$) $\Rightarrow \theta = 2 \operatorname{tg}^{-1} \frac{\omega T}{2}$

i) $\omega = 0 \Rightarrow \theta = 0$: L'origine del piano s viene trasformata nel punto $(1, 0)$

ii) $\omega \rightarrow \infty \Rightarrow \theta \rightarrow \pi$: Il SEMIASSE POSITIVO di $s=j\omega$ viene trasformato NELLA SEMICIRCONFERENZA SUPERIORE di $|z|=1$

iii) $\omega \rightarrow -\infty \Rightarrow \theta \rightarrow -\pi$ Il SEMIASSE NEGATIVO di $s=j\omega$
 viene trasformato nella SEMICIRCONFERENZA
 INFERIORE di $|z|=1$

OSS.

a) Dalla proprietà 2) si ha che massimo e minimo di $|H_B(j\omega)|$
 si conservano nel passaggio a $|H_D(e^{j\omega T})|$. Inoltre se

$$M_1 \leq |H_B(j\omega)| \leq M_2 \quad \omega_1 \leq \omega \leq \omega_2$$

allora

$$M_1^* \leq |H_D(e^{j\omega T})| \leq M_2^* \quad \Omega_1 \leq \Omega \leq \Omega_2$$

quindi bande passanti e bande oscura del filtro analogico
 vengono trasformati in bande passanti e oscura del filtro
 digitale corrispondente (non si hanno effetti di "deterioramento"
 come nel caso del metodo Euler forward.)

b) Problema dell' EFFETTO DI WARPING ("invecchiamenti")

In base alla proprietà 2) $s=j\omega \leftrightarrow z = e^{j\omega T}$. Ma dalla
 (B) con $G=0$ ($\theta = \arg z = -\Omega T = 2 \operatorname{tg}^{-1} \frac{\omega T}{2}$)

$$\frac{\omega T}{2} = \operatorname{tg}^{-1} \frac{\omega T}{2} \quad (*)$$

$$\frac{\omega T}{2} = \operatorname{tg} \frac{\omega T}{2}$$

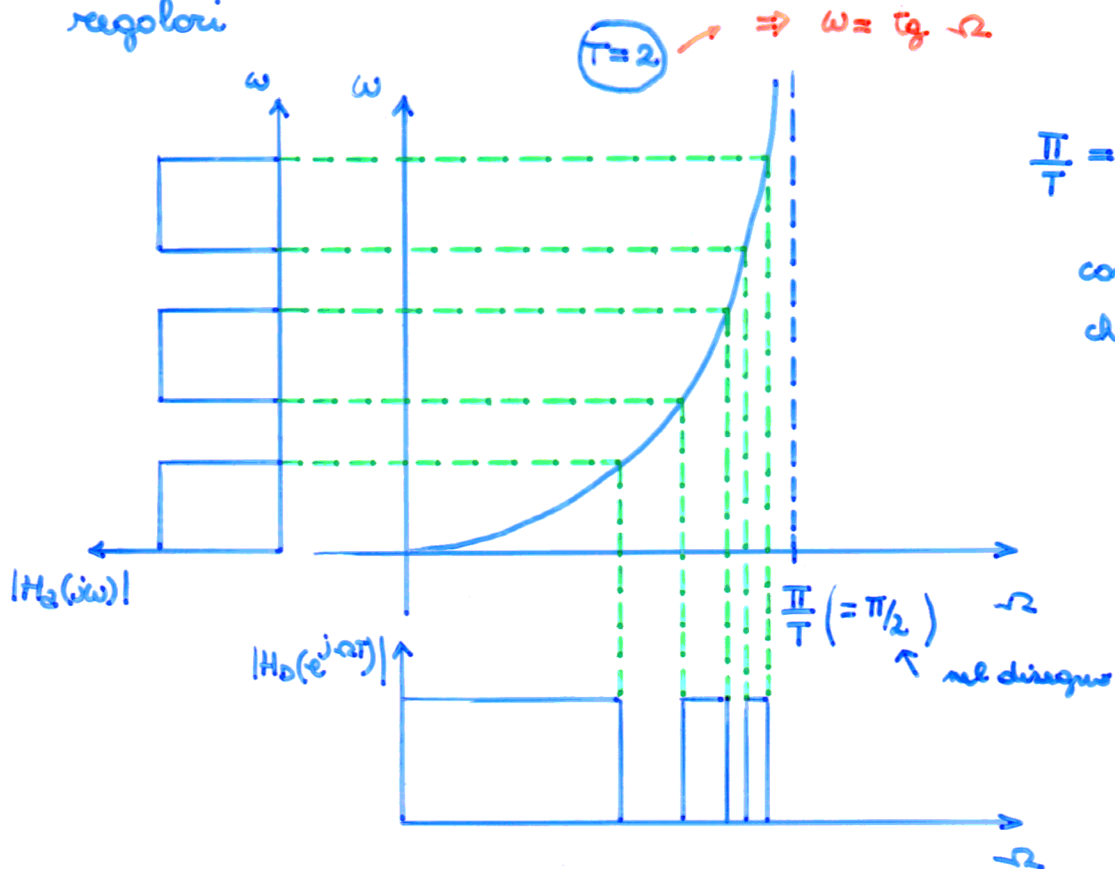
dalla (*) si ha
 i) $\omega = 0 \Rightarrow \Omega = 0, \pm \frac{2\pi}{T}, \pm \frac{4\pi}{T}, \dots$
 ii) $\omega \rightarrow \infty \Rightarrow \Omega \rightarrow \pm \pi - \frac{\pi}{T} - \dots$

$$\dots) \text{ per } \frac{\omega T}{2} \text{ "piccolo" è } \frac{\omega T}{2} \approx \frac{\omega T}{2}$$

cioè per BASSE FREQUENZE ($\omega \approx 0$) la relazione tra ω e ω è LINARE. In generale l'asse ω è "MAPPATO" negli intervalli finiti: $-\frac{\pi}{T} \leq \omega \leq \frac{\pi}{T}$, $\frac{\pi}{T} \leq \omega \leq \frac{3\pi}{T}$, ... \Rightarrow la scala di frequenze in ω è COMPRESA rispetto a quella in ω .

Consideriamo l'effetto sulla RISPOSTA di AMPIEZZA del filtro (si ha un effetto di distorsione sullo risposto in fase, ma col presente metodo SI PUÒ FARE POCO PER OMIARE all'inconveniente)

H_p) Consideriamo un ipotetico filtro analogico passa-banda con un numero di bande passanti centrate ad intervalli regolari



$\frac{\pi}{T}$ = metà della pulsazione di cima. (max pulsazione che ha senso considerare.)

Il filtro digitale corrispondente presenta LO STESSO NUMERO DI BANDE PASSANTI, ma la frequenza di centrobanda e l'ampiezza delle bande a freq. elevata TENDE A RIDURSI IN MODO NON PROP. ad ω_2 (effetto di WARPING.)

SOLUZIONE.

- Si effettua una operazione preliminare di PREDISTORSIONE (PREWARPING):

Dato che un filtro digitale, ricavato da un filtro analogico con w_p ed. w_s confini di b.p. e b.o., ha le pulsazioni corrispondenti pari a

$$\tilde{\omega}_p = \frac{2}{T} \operatorname{tg}^{-1} \frac{w_p T}{2} \quad (\text{Warping.})$$

$$\tilde{\omega}_s = \frac{2}{T} \operatorname{tg}^{-1} \frac{w_s T}{2}$$

→ per ottenere un filtro digitale caratterizzato da

$$\tilde{\tilde{\omega}}_p \text{ e } \tilde{\tilde{\omega}}_s \text{ (desiderate)}$$

basta considerare un filtro analogico di portanza caratterizzato da

$$\tilde{\tilde{\omega}}_p = \frac{2}{T} \operatorname{tg} \frac{\tilde{\tilde{\omega}}_p T}{2} \quad (\text{prewarping})$$

$$\tilde{\tilde{\omega}}_s = \frac{2}{T} \operatorname{tg} \frac{\tilde{\tilde{\omega}}_s T}{2}$$

NOTA:

- Le specifiche sulle attenuazioni (A_p, A_s) non risentono del WARPING

Esempio:

Si vuole sintetizzare un filtro digitale passabasso caratterizzato da

$$A_p = 0.5 \text{ dB} \quad f_p = 350 \text{ KHz}$$

$$A_s = 25 \text{ dB} \quad f_s = 470 \text{ KHz}$$

1° PASSO : Prewarping ($f_{CL} = 2 \text{ MHz}$)

$$\tilde{f}_p = \frac{f_{CL}}{\pi} \operatorname{tg} \frac{\pi f_p}{f_{CL}} \approx 390 \text{ KHz} \quad (\text{N.B. le specifiche su } A_p \text{ ed } A_s \text{ RIMANGONO})$$

$$\tilde{f}_s = \frac{f_{CL}}{\pi} \operatorname{tg} \frac{\pi f_s}{f_{CL}} \approx 590 \text{ KHz} \quad (\text{le stesse!})$$

2° PASSO : considero il filtro NORMALIZZATO ottimo

- considero una approssimazione alla Tschebyscheff.

$$f_p^N = \frac{1}{2\pi} \Rightarrow (2\pi f_p^N) = \frac{\omega_p^N}{(\pi f_p)} \approx 1.485$$

3° PASSO : sintesi del filtro NORMALIZZATO

A_p : ottengo il "ripple" in banda passante

$$\epsilon = \sqrt{10^{A_p/10} - 1} \approx 0.35$$

A_s + ω_s^N : determino l'ordine del filtro

$$n \geq \frac{\operatorname{arccosh} \frac{\sqrt{10^{A_s/10} - 1}}{\epsilon}}{\operatorname{arccosh} \omega_s^N} = 4.87 \Rightarrow n=5$$

4° PASSO : determinazione dei poli a $\operatorname{Re} < 0$. Svolgendo le formule note si ottiene (N.B. gli zeri di $L(-s^2)$ sono 2n!)

$$P_1 = -0.112 + j \pm 0.042$$

$$P_4 = P_2^*$$

$$P_2 = -0.293 + j 0.625$$

$$P_5 = P_3^*$$

$$P_3 = -0.362$$

5° PASSO : determinazione di $H_2^n(s) = \frac{H_0}{\prod_{i=1}^n (s-P_i)}$

dove, essendo n dispari, $H_0 = \frac{5}{\prod_{i=1}^n (-P_i)}$

6° PASSO : trasformazione di frequenza p.b. norm. \rightarrow p.b. non norm.

$$H_2^n(s) \rightarrow H_0(s)$$

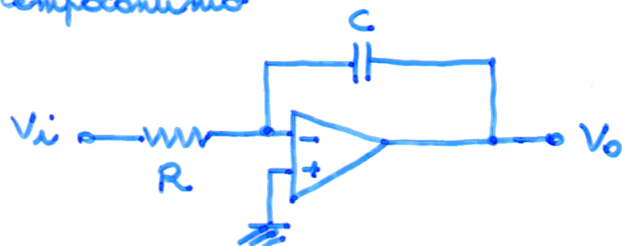
7° PASSO : determinazione di

$$H_D(z) = H_0(s) \Big|_{s=\frac{2}{T} \frac{z-1}{z+1}}$$

RISPOSTA IN FREQUENZA DI UN INTEGRATORE Q. COND.

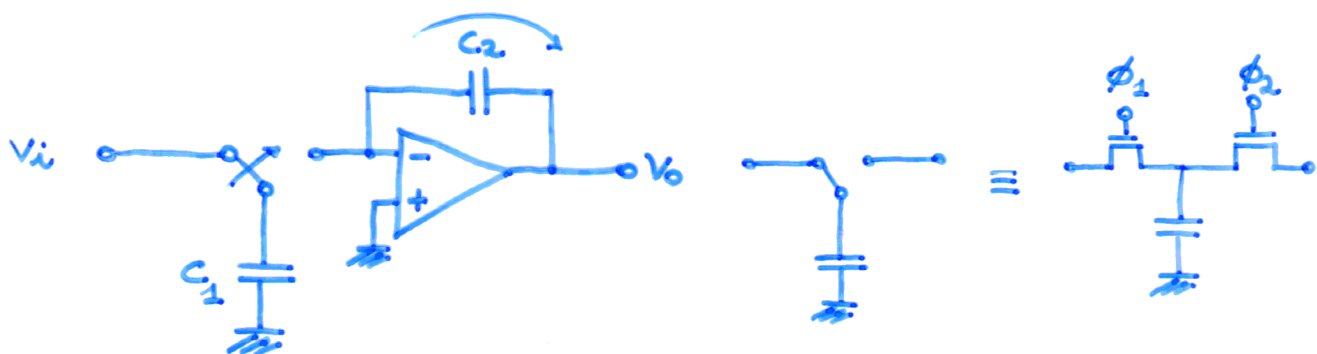
COMMUTATI!

- Int. temporizzato



$$H(j\omega) = -\frac{1}{j\omega \tau} \quad \tau = RC$$

- mediante condensatore commutato possiamo sostituire ("mediamenti") R.



ϕ_1, ϕ_2 tensioni di clock a fasi non sovrapposte

Funzione di Trasferimento

$$t = nT \quad (\phi_1 = \pm, \phi_2 = 0) \quad Q_1(nT) = C_1 V_i(nT)$$

$$Q_2(nT) = C_2 V_o(nT)$$

$$t = (n+1)T \quad (\phi_1 = 0, \phi_2 = \pm) \quad Q_1[(n+1)T] = 0$$

$$Q_2[(n+1)T] = C_2 V_o[(n+1)T]$$

Applico il principio di conservazione della corrente al nodo Θ

$$-C_2 V_o[(n+1)T] = -C_2 V_o(nT) + C_1 V_i(nT)$$

$$V_o[(n+1)T] - V_o(nT) = -\frac{C_1}{C_2} V_i(nT)$$

Applico la Z-trasf.

$$V_o(z) (z-1) = -\frac{C_1}{C_2} V_i(z) \Rightarrow$$

$$H(z) = \frac{V_o(z)}{V_i(z)} = -\frac{C_1}{C_2} \frac{1}{z-1}$$

Quindi (a parti foltori di scala) $H(z)$ si può PENSARE OTTENUTA da $H(s) = \frac{1}{s}$ MEDIANTE UNA TRASFORMAZIONE DI TIPO Euler forward

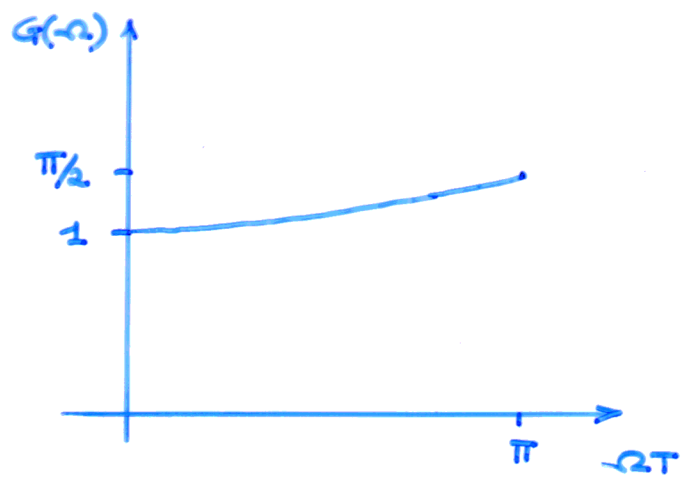
$$s = \frac{z-1}{T}$$

Risposta in Frequenza

$$\begin{aligned}
 H(e^{j\omega T}) &= -\frac{C_1}{C_2} \frac{1}{e^{j\omega T}-1} = -\frac{C_1}{C_2} \frac{e^{-j\omega T/2}}{e^{j\omega T/2}-e^{-j\omega T/2}} \\
 &= -\frac{C_1}{C_2} \frac{e^{-j\omega T/2}}{2j \sin \frac{\omega T}{2}} = -\frac{C_1}{C_2} \frac{\frac{\omega T}{2}}{j \omega T} \frac{1}{\frac{j \omega T}{2}} \frac{e^{-j\omega T/2}}{\sin \frac{\omega T}{2}} \\
 &= -\frac{C_1}{C_2} f_c \cdot \left(\frac{1}{j\omega}\right) \frac{-\omega T/2}{\sin \omega T/2} \cdot e^{-j\omega T/2}
 \end{aligned}$$

costanti \uparrow risposta int. ideale \uparrow $G(\omega)$ FATTORE DI DISTORSIONE DI AMPISSIMA \nwarrow FATTORE DI DISTORSIONE DI FASE

Effetto della distorsione di ampiezza.



al solito lo stesso
considera $\omega \leq \frac{\pi}{T}$

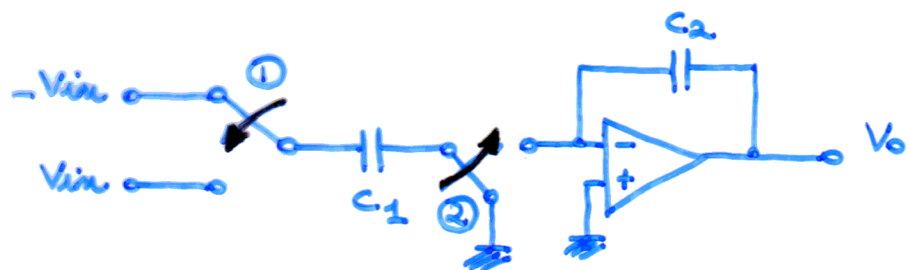
Per $\omega = 0$ l'effetto è trascurabile, per ω > questo fanno
precocare un aumento della risposta di ampiezza.

Soluzione: Aumento opportunamente $f_c \Rightarrow T \downarrow$ in modo
da avere $\omega T \approx 0$ anche per ω relativamente grande
 \Rightarrow possa risolvere il problema della distorsione
d'ampiezza.

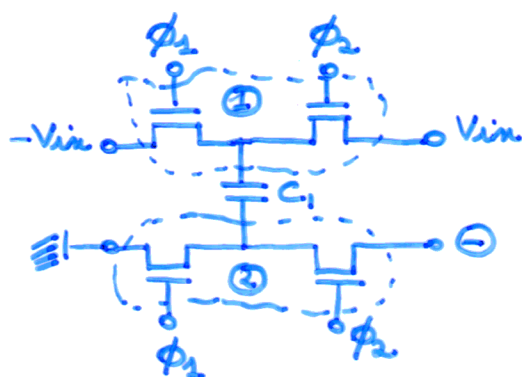
NOTA

Il problema della distorsione di FASE è, PER QUESTO
TIPO DI INTEGRATORE, IRRISOLUBILE !

RISPOSTA IN FREQUENZA DI UN INT. "BILINARE"



- interruttori abilitati in CONTROFASE cioè



Funzione di Trasferimento

$$t = nT \quad (\phi_1 = 1, \phi_2 = 0) \quad Q_1(nT) = -C_1 V_{in}(nT)$$

$$Q_2(nT) = C_2 V_o(nT)$$

$$t = (n+1)T \quad (\phi_1 = 0, \phi_2 = 1) \quad Q_1[(n+1)T] = +C_1 V_{in}[(n+1)T]$$

$$Q_2[(n+1)T] = C_2 V_o[(n+1)T]$$

- Applico il principio di conservazione della corrente al nodo Θ

$$-C_1 V_{in}[(n+1)T] - C_2 V_o[(n+1)T] = C_1 V_{in}(nT) - C_2 V_o(nT)$$

$$C_1 \{ V_{in}[(n+1)T] + V_{in}(nT) \} = -C_2 \{ V_o[(n+1)T] - V_o(nT) \}$$

- Applico la Z-transform

$$V_{in}(z) (z+1) = -\frac{C_2}{C_1} V_o(z) (z-1) \Rightarrow$$

$$H(z) = \frac{V_o(z)}{V_{in}(z)} = -\frac{C_1}{C_2} \frac{z+1}{z-1}$$

Quindi (a parte fattori di scala) $H(z)$ si può scrivere

ottenuta da $H(s) = 1/s$ MEDIANTE UNA TRASF. BIILINEARE

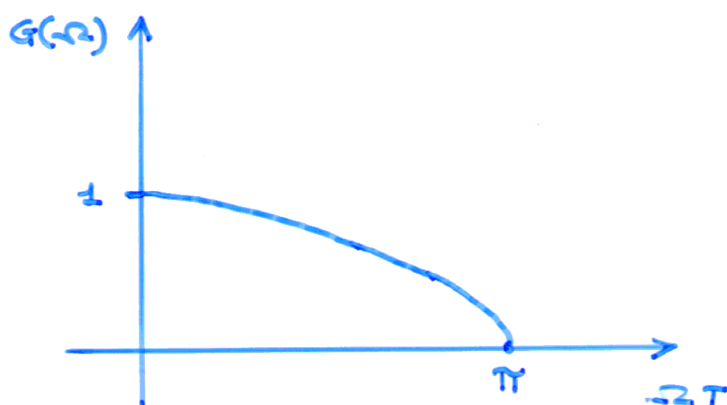
$$s = \frac{\omega}{T} \frac{z-1}{z+1}$$

Risposto in Frequenza:

$$\begin{aligned} H(e^{j\omega T}) &= -\frac{C_1}{C_2} \frac{e^{\frac{j\omega T}{2}} + 1}{e^{\frac{j\omega T}{2}} - 1} = -\frac{C_1}{C_2} \frac{e^{\frac{j\omega T}{2}} + e^{-\frac{j\omega T}{2}}}{e^{\frac{j\omega T}{2}} - e^{-\frac{j\omega T}{2}}} \\ &= -\frac{C_1}{C_2} \frac{2' \cos \frac{\omega T}{2}}{2j \sin \frac{\omega T}{2}} = -\frac{C_1}{C_2} \cdot 2f_c \left(\frac{1}{j\omega} \right) \frac{-\frac{\omega T}{2}}{\tan \frac{\omega T}{2}} \\ &\quad \text{cost.} \qquad \qquad \qquad G(\omega) \end{aligned}$$

Quindi

1) Ho ancora un fattore di distorsione di ampiezza.

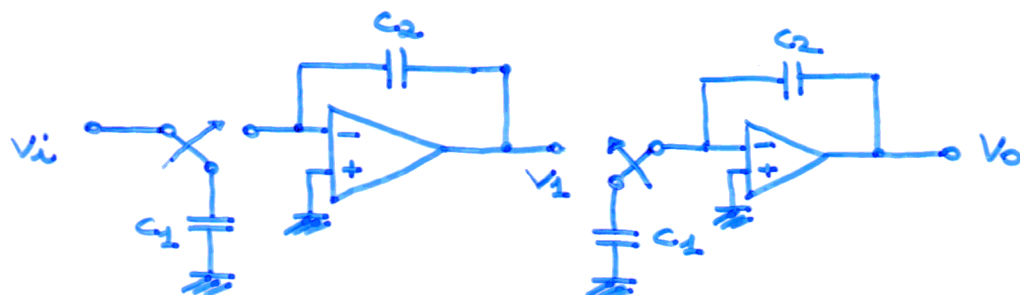


Possiamo risolvere il problema in modo analogo al caso preceduti

2) NON HO PIÙ DISTORSIONE DI FASE

Il punto è generare ogni volta $V_{in}(nT)$ e $-V_{in}(nT)$ (può essere presente)

ALTRA SOLUZIONE (a livello di sistema)



grazie allo "sfasamento" tra i 2 interruttori, in una sola fase ottengo SIA l'integrazione sul 1° stadio che la memorizzazione delle corrispondenti capacità C_1 del 2° stadio \Rightarrow "guadagno" un semiperiodo

- Con considerazioni analoghe alle precedenti si può ottenere per IL SINGOLO STADIO

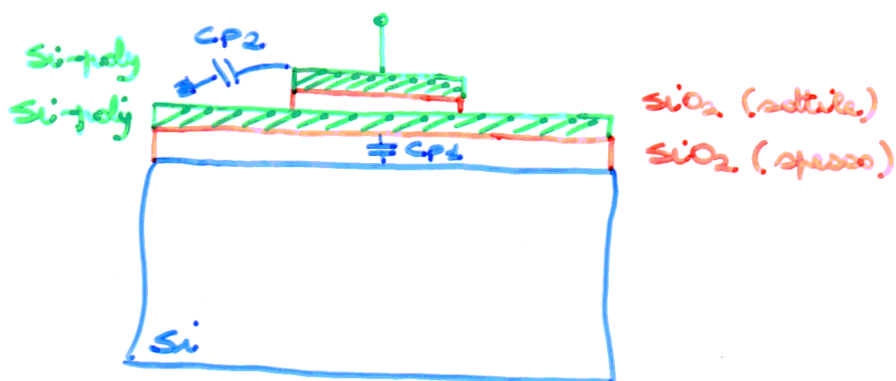
$$H(z) = -\frac{C_1}{C_2} \cdot \frac{z^{-1/2}}{1 - z^{-1}}$$

e

$$H(e^{j\omega T}) = -2f_c \frac{C_1}{C_2} \cdot \left(\frac{1}{j\omega}\right) \frac{-jT/2}{\sin jT/2}$$

INFLUENZA DELLE CAPACITÀ PARASSITE.

- Struttura di un condensatore integrato (2 liv di si-poly)

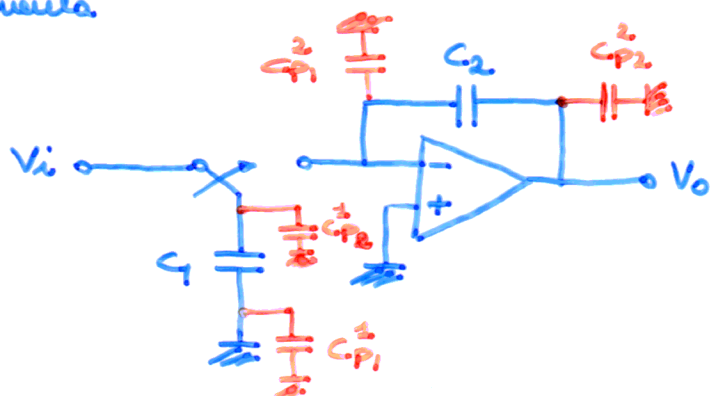


C_{P1} = capacità parassita tra l'ornatura inferiore e il substrato

C_{P2} = capacità parassita tra l'ornatura superiore ed altre pisti, capacità... (presenti sul chip)

Tipicamente $C_{P1} \gg C_{P2}$ (che dipende da effetti di bordo)

- Tenendo conto delle capacità parassite, lo schema dell'integratore diventa:



C_{P2}^2 è ~~connessa~~ ad un nodo a bassa impedenza \Rightarrow pertanto NON CONTA

C_{P1}^2 è connessa tra MASSA e MASSA VIRTUALE \Rightarrow non viene mai corretta né scartata \Rightarrow NON CONTA.

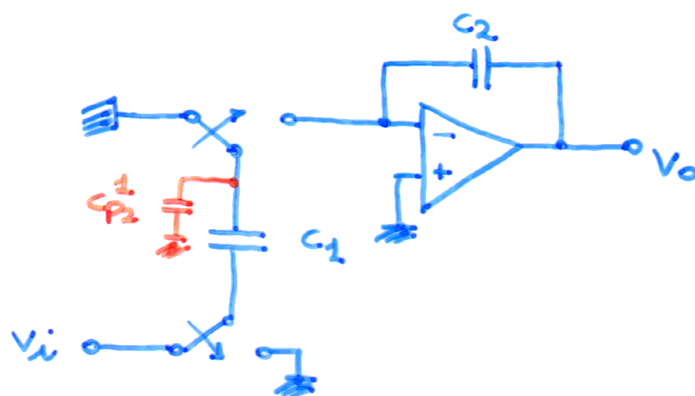
$C_{P_1}^{\frac{1}{2}}$ ha entrambe le armature a massa \Rightarrow NON CONTA

L'unica capacità che conta è $C_{P_2}^{\frac{1}{2}}$ che va in \parallel a C_1 .

Di fatto non è molto fastidiosa dato che di solito $C_1 \gg C_{P_2}$.

Nel caso in cui C_1 fosse particolarmente piccola \Rightarrow si può adottare una struttura di integratore (NON INVERTENTE)

che NON RISENTE DELLA INFLUENZA DELLE CAPACITÀ PARASSITE



$C_{P_2}^{\frac{1}{2}}$ è comunque tra massa e massa virtuale \Rightarrow NON CONTA

- Applicando considerazioni simili a quelle viste in precedenza si ha

$$H(\omega) = \frac{V_o(\omega)}{V_i(\omega)} = \frac{C_1}{C_2} \cdot \frac{1}{\omega - 1}$$